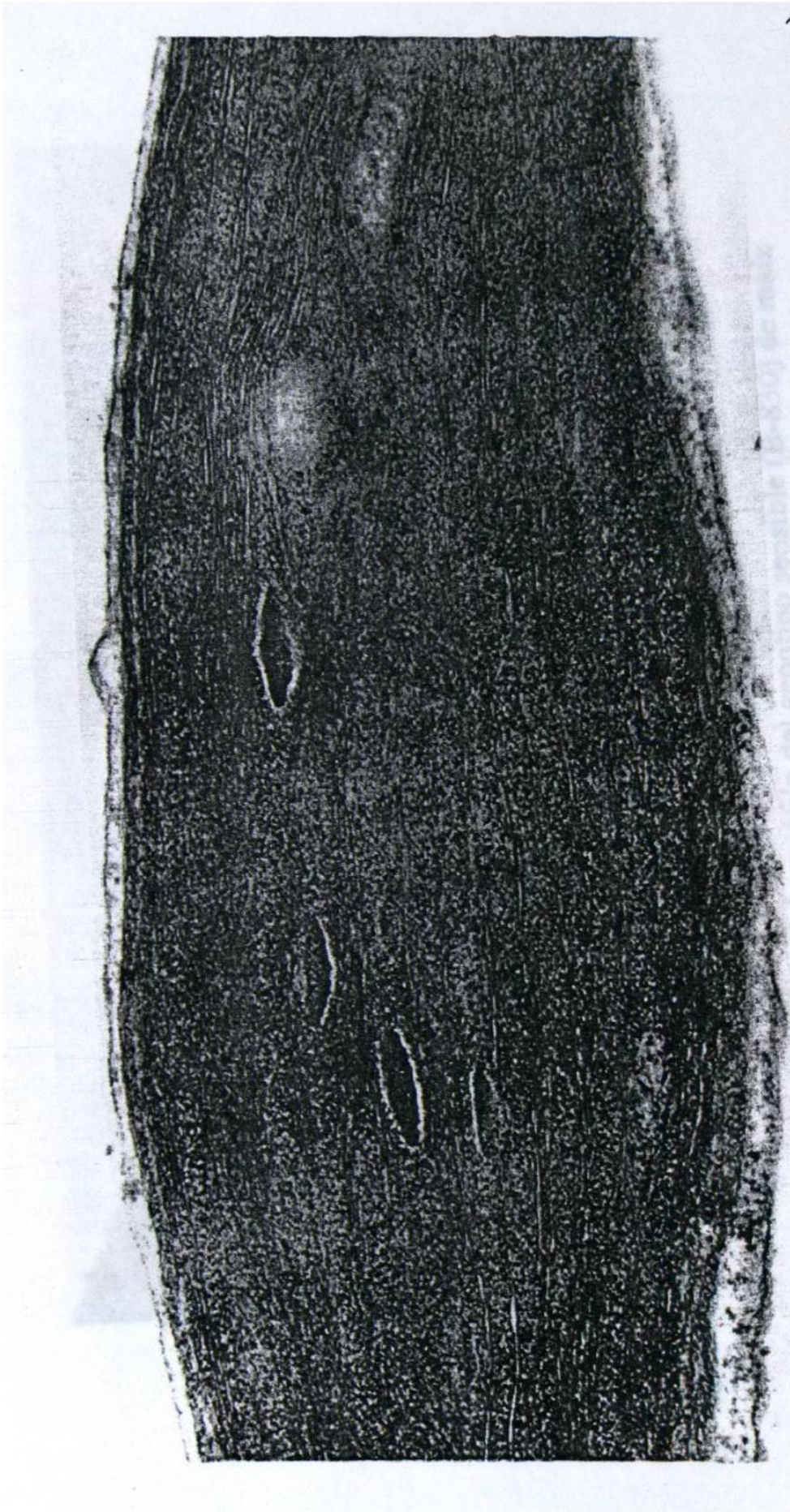


**Figura 13. Cloroplasto del mesófilo del control del genotipo sensible (B-830) de maíz (*Zea mays*). Aumento 48,700X. El cloroplasto con formada finida y los grana bien organizados.**



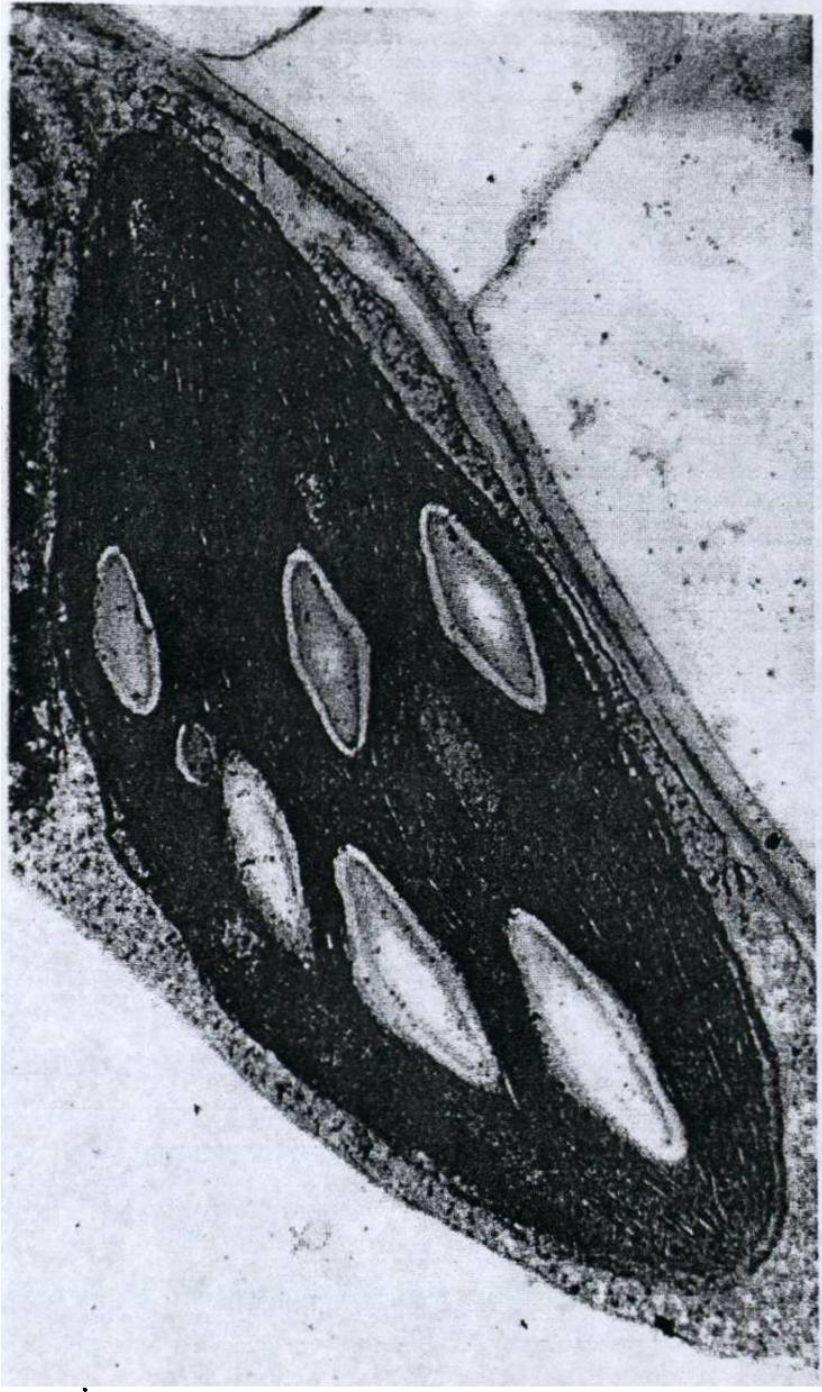


**Figura 14. Cloroplasto de la vaina de Kranz en el control del genotipo sensible (B-830) de maíz (*Zea mays*). Aumento: 41,779X. Gránulos de almidón en menor número y tamaño que el genotipo tolerante.**





**Figura 15. Cloroplasto del mesófilo del genotipo sensible (B-830) de maíz (*Zea mays*) tratado. Aumento: 22,848X. El cloroplasto de forma regular y los grana de menor tamaño que el control.**



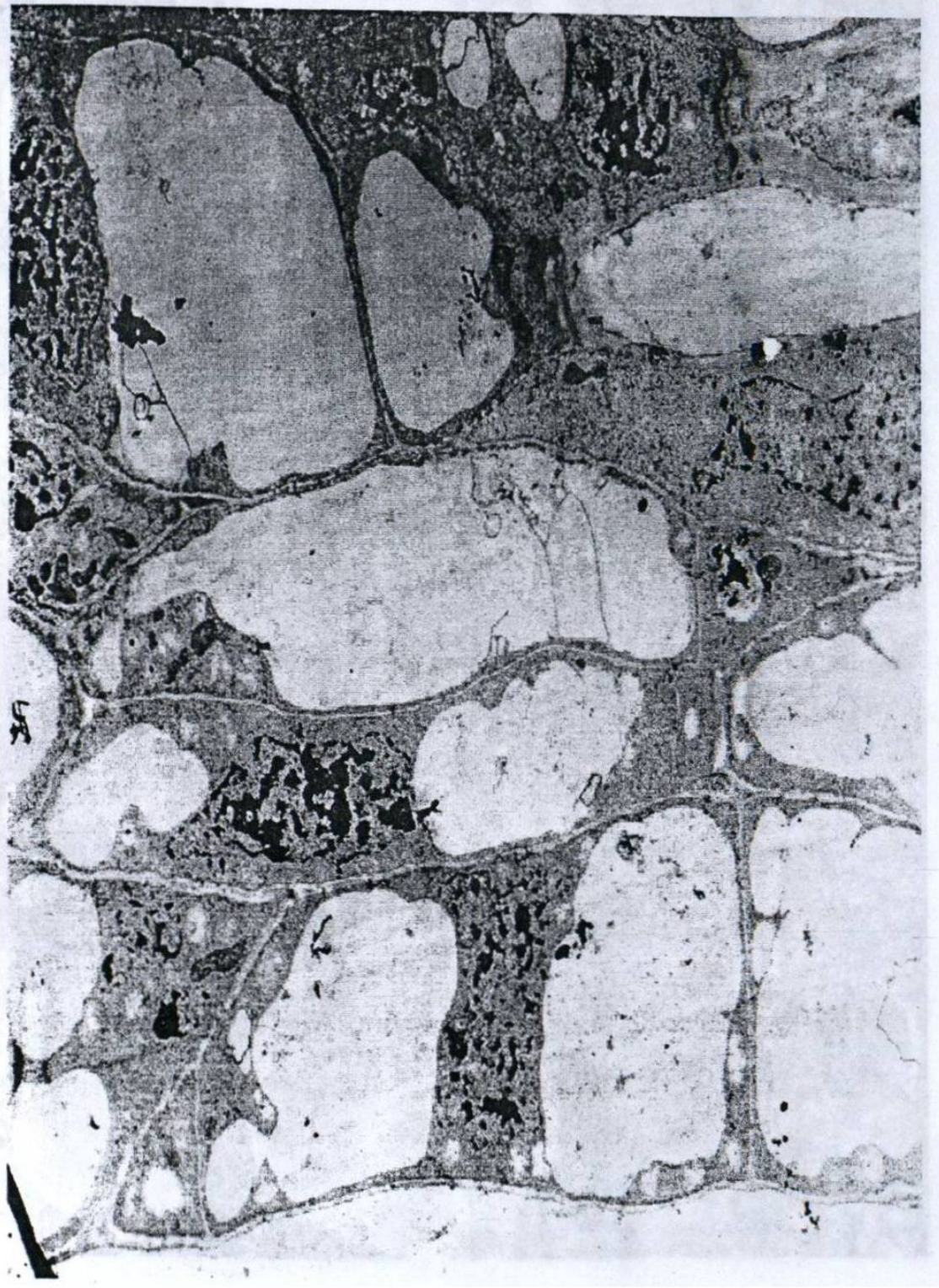
**Figura 16. Cloroplasto de la vaina de Kranz en el genotipo sensible (B-830) de maíz (*Zea mays*). Aumento: 22,848X.**





**Figura 17. Meristemo del control del genotipo sensible (B-830) de maíz (*Zea mays*).  
Aumento: 34,272X**





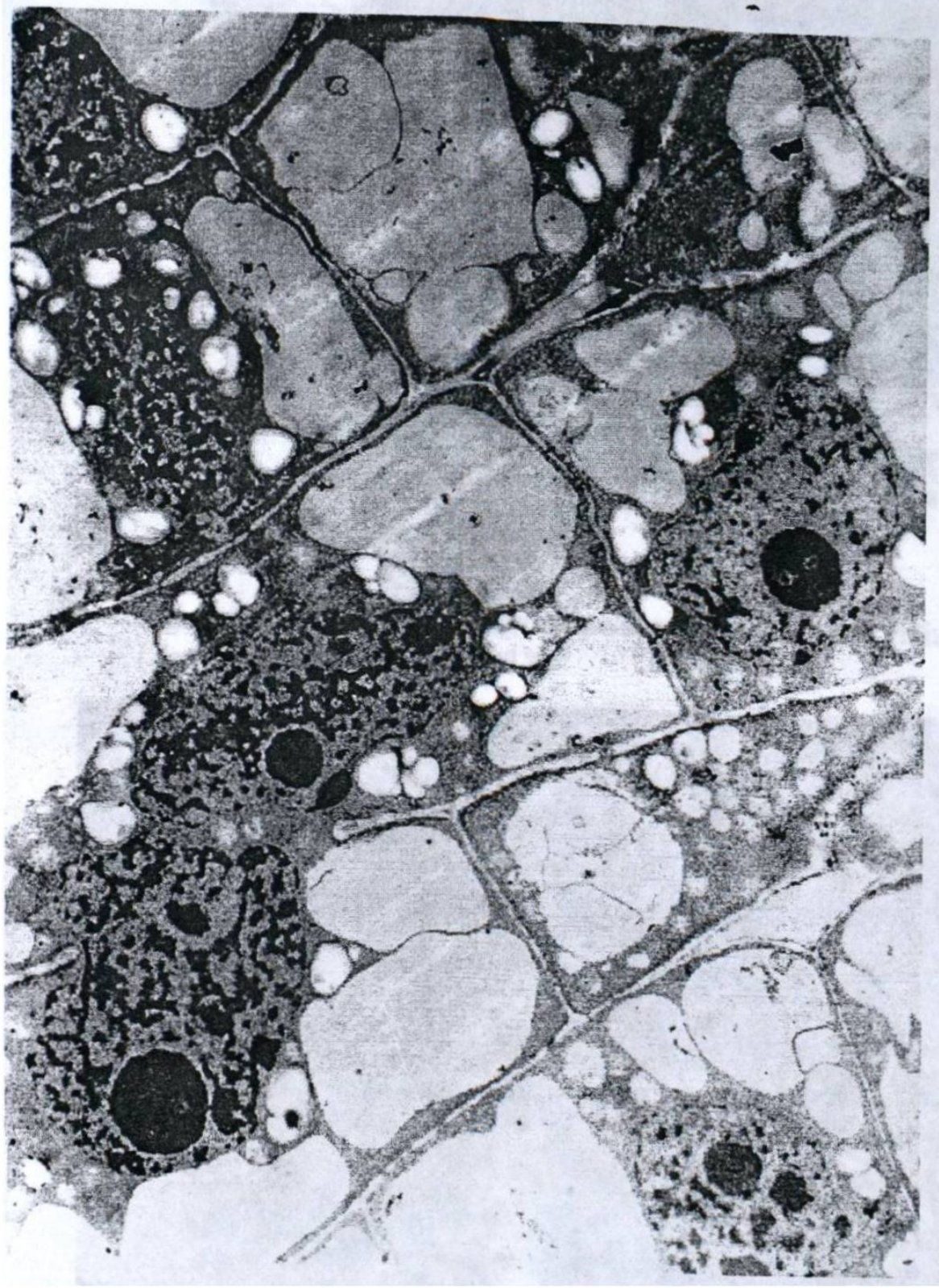
**Figura 18. Meristemo del genotipo sensible tratado (B-830) de maíz (*Zea mays*).  
Aumento: 8,232X. Observándose la formación de vacuolas.**





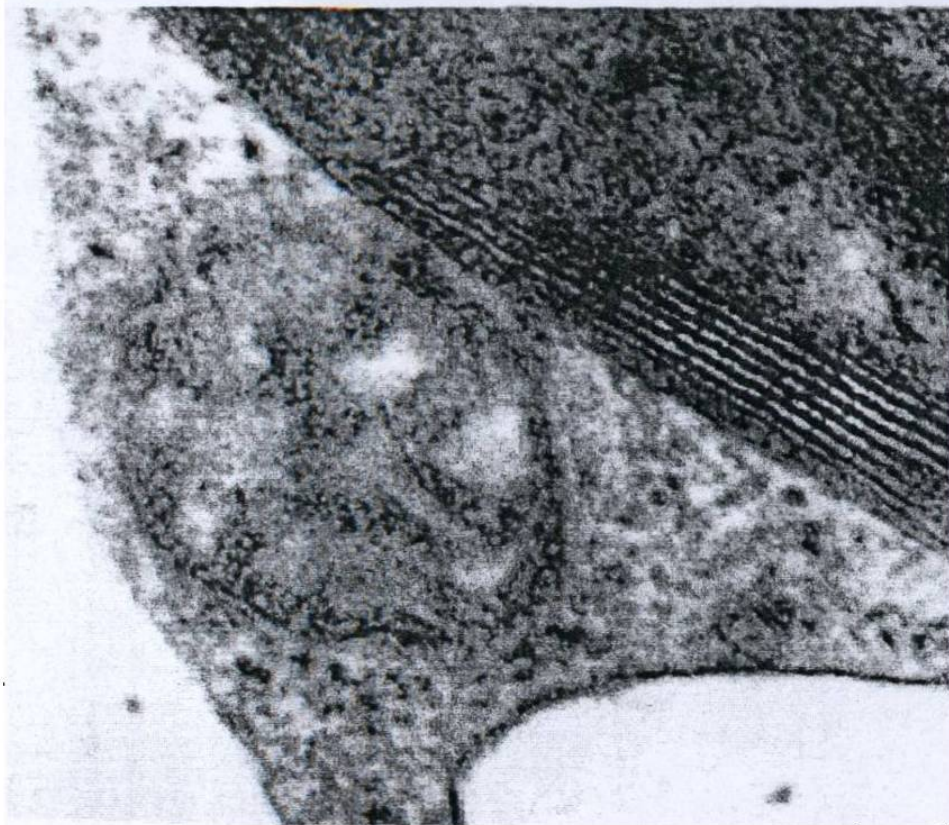
**Figura 19.** Meristemo del control del genotipo tolerante (D-878) de maíz (*Zea mays*). Aumento: 9,996X. Observándose mayor número de células que el sensible.



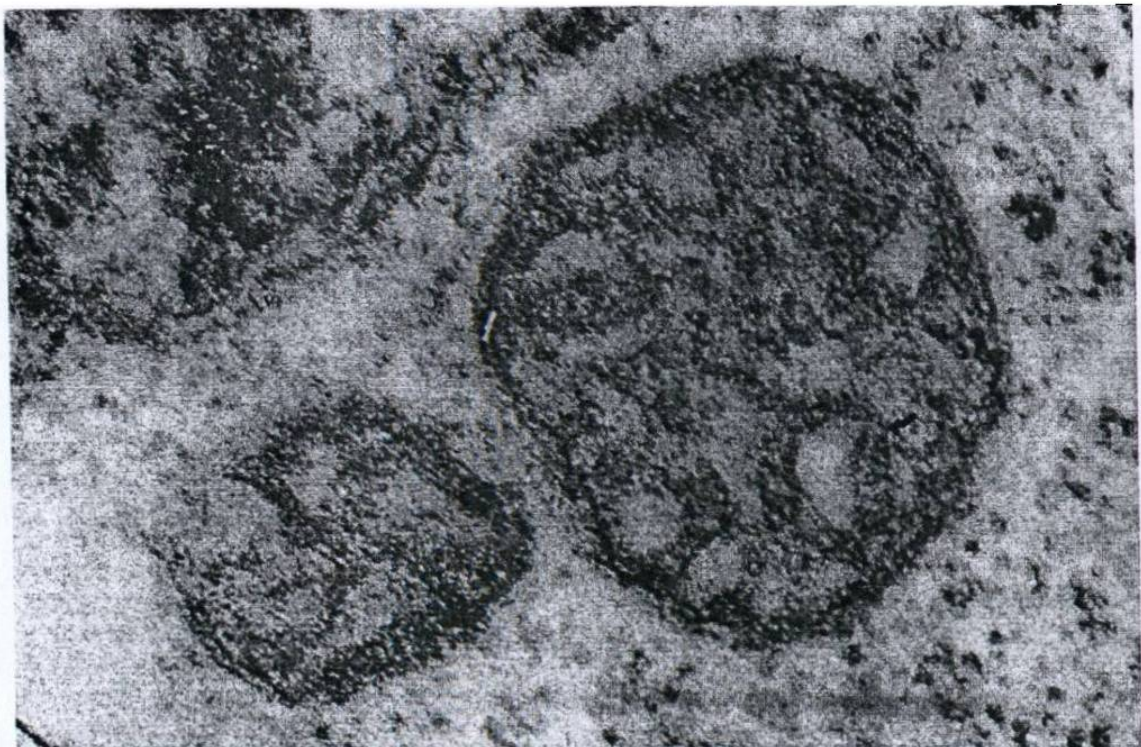


**Figura 20.** Meristemo del genotipo tolerante (D-878) de maíz (*Zea mays*) tratado. Aumento: 5,880X. Observándose gran cantidad de gránulos de almidón.





**Figura 21. Mitochondrias del genotipo sensible (B-830) de maíz (*Zea mays*). Aumento: 85,680X.**



**Figura 22. Mitochondrias del genotipo tolerante (D-878) de maíz (*Zea mayz*). Aumento: 85,680X. Observandose mayor número y tamaño que en el sensible.**



